文章编号: 1004-0609(2013)04-1073-06

# Cu-Ni 交互作用对 Cu/Sn/Ni 焊点液-固界面反应的影响

黄明亮<sup>1,2</sup>, 陈雷达<sup>1,2</sup>, 赵 宁<sup>1,2</sup>

- (1. 大连理工大学 材料科学与工程学院, 大连 116024;
- 2. 大连理工大学 辽宁省先进连接技术重点实验室, 大连 116024)

摘 要:研究 Cu/Sn/Ni 焊点在 250 °C液-固界面反应过程中 Cu-Ni 交互作用对界面反应的影响。结果表明:液-固界面反应 10 min 后, Cu-Ni 交互作用就已经发生, Sn/Cu 及 Sn/Ni 界面金属间化合物(IMCs)由浸焊后的 Cu<sub>s</sub>Sn<sub>s</sub> 和 Ni<sub>3</sub>Sn<sub>4</sub> 均转变为(Cu,Ni)<sub>6</sub>Sn<sub>5</sub>,界面 IMCs 形貌也由扇贝状转变为短棒状。在随后的液-固界面反应过程中,两界 面 IMCs 均保持为(Cu,Ni)<sub>6</sub>Sn<sub>5</sub>类型,但随着反应的进行,界面 IMC 的形貌变得更加凸凹不平。Sn/Cu 和 Sn/Ni 界 面 IMCs 厚度均随液-固界面反应时间的延长不断增加,界面 IMCs 生长指数分别为 0.32 和 0.61。在液-固界面反 应初始阶段, Sn/Cu 界面 IMC 的厚度大于 Sn/Ni 界面 IMC 的厚度: 液-固界面反应 2 h 后, 由于 Cu-Ni 交互作用, Sn/Cu 界面 IMC 的厚度要小于 Sn/Ni 界面 IMC 的厚度,并在液-固界面反应 6 h 后分别达到 15.78 和 23.44 μm。

关键词: Cu-Ni 交互作用: 液-固界面反应: Cu/Sn/Ni 焊点: 金属间化合物

中图分类号: TG425.1

文献标志码: A

# Effect of Cu-Ni cross-solder interaction on liquid-solid interfacial reaction in Cu/Sn/Ni solder joint

HUANG Ming-liang<sup>1,2</sup>, CHEN Lei-da<sup>1,2</sup>, ZHAO Ning<sup>1,2</sup>

- (1. School of Materials Science and Engineering, Dalian University of Technology, Dalian 116024, China;
- 2. Key Laboratory of Liaoning Advanced Welding and Joining Technology, Dalian University of Technology, Dalian 116024, China)

Abstract: The effect of Cu-Ni cross-solder interaction on liquid-solid interfacial reaction in Cu/Sn/Ni solder joint at 250 °C was investigated. The results show that the Cu-Ni cross-solder interaction occurs after liquid-solid reaction for 10 min, the initial Cu<sub>6</sub>Sn<sub>5</sub> and Ni<sub>3</sub>Sn<sub>4</sub> form during immersing soldering at the Sn/Cu and Sn/Ni interfaces, and both transform into (Cu,Ni)<sub>6</sub>Sn<sub>5</sub>, their morphologies change from scallop shape to rod shape. With increasing reaction time, the interfacial IMCs remain as (Cu,Ni)<sub>6</sub>Sn<sub>5</sub>, while their morphologies become more uneven. The IMCs at the Sn/Cu and Sn/Ni interfaces grow thicker with increasing reaction time, and their growth indexes are 0.32 and 0.61, respectively. At the beginning of the liquid-solid reaction, the Sn/Cu interfacial IMC is thicker than the Sn/Ni interfacial IMC. However, after liquid-solid reaction for 2 h, the result reverses due to the Cu-Ni cross-solder interaction, and the thicknesses reach 15.78 and 23.44 µm after reaction for 6 h, respectively.

Key words: Cu-Ni cross-solder interaction; Cu/Sn/Ni solder joint; liquid-solid interfacial reaction; intermetallic compound

电子封装技术中 Cu 作为倒装芯片凸点下金属层 点与 Cu 基 UBM 的反应速率很快, 在钎焊过程中会形 (UBM)被广泛使用,但是,大量的研究表明,钎料凸 成一层较厚的金属间化合物(IMC),严重影响微小焊

基金项目: 国家自然科学基金资助项目(51171036); 高等学校博士学科点专项科研基金资助项目(20120041120038)

收稿日期: 2012-07-11; 修订日期: 2012-12-30

点的可靠性<sup>[1-2]</sup>。Ni 与钎料凸点的反应速率远远低于Cu 和钎料凸点的反应速率,因此,Ni 作为 UBM 也广泛应用在电子封装芯片互连技术中<sup>[3]</sup>。目前,Cu/solder/Ni 焊点结构已取代 Cu/solder/Cu 焊点结构成为常见的芯片互连形式。近年来,随着高密度封装的不断发展,凸点的尺寸持续减小。当凸点的尺寸减小到微米级时,凸点两侧的界面不再是相对独立的体系,而是相互联系、相互影响,这主要体现在微小焊点中一侧的 Ni 或 Cu 金属层原子会扩散越过钎料到达对面一侧界面,并在界面处发生 Cu-Ni 交互作用<sup>[4-6]</sup>。

近年来,国内外对 Cu、Ni 在界面反应过程中的 作用进行了大量研究[7-9]。HO 等[7]研究发现, Sn-Ag-xCu 钎料与 Ni 基板在 250 ℃条件下液-固界面 反应时,界面 IMC 的类型与钎料中 Cu 浓度有很大关 系: 当钎料中 Cu 含量低于 0.2%(质量分数)时, 在界 面处生成(Ni,Cu)<sub>3</sub>Sn<sub>4</sub>; 当钎料中 Cu 含量高于 0.6%时, 在界面处生成(Cu,Ni)<sub>6</sub>Sn<sub>5</sub>; 当钎料中Cu含量介于0.4% 到 0.5%之间时, 界面处既生成(Ni,Cu)<sub>3</sub>Sn<sub>4</sub>, 又生成 (Cu,Ni)<sub>6</sub>Sn<sub>5</sub>。TSAI等<sup>[8]</sup>研究发现,Sn-3.5Ag 钎料中添 加不同含量的 Ni 会对 Sn-3.5Ag-xNi/Cu 界面反应产生 影响, Ni 的添加虽然不能改变界面 IMC 的类型, 但 会改变其厚度及形貌。Sn-3.5Ag/Cu 界面处的 IMC 为 致密的层状结构, 当钎料中加入 Ni 元素后, 界面 IMC 转变为疏松的多孔状结构,而且厚度大于未添加 Ni 时的厚度。此外,本课题组的前期研究结果表明,基 体中 Cu、Ni 的溶解、扩散及交互作用对界面反应具 有显著的影响[10-12]。由此可见, Cu 和 Ni 作为参与凸 点界面反应中的重要元素,即使含量很微小也会显著 影响界面反应的进程。

对于 Cu/solder/Ni 焊点结构,在封装工艺过程中,UBM 中的 Cu 和 Ni 原子会溶解并扩散越过钎料参与对面一侧的界面反应,进而对微小焊点的可靠性产生影响。在 Cu/solder/Ni 焊点中, Cu 和 Ni 作为无限的扩散源对界面反应的影响必然不同于微量的 Cu 和 Ni 对界面反应的影响。因此,本文作者采用 Cu/Sn/Ni 线性焊点(即采用目前业界常见的焊点间距)研究液—固界面反应过程中 Cu 与 Ni 交互作用及其对界面反应产物及生长动力学的影响。

## 1 实验

采用浸焊的方法来制备 Cu/Sn/Ni 线性焊点。先将 Cu 块和 Ni 块(5 mm×7 mm×12 mm)的端面(5 mm×7 mm)进行预磨、抛光, 然后电镀一层 3 μm 厚的 Sn,

以增加润湿性并避免钎焊孔洞出现。在 Cu 块和 Ni 块之间放置两根直径为 200 μm 的不锈钢丝以控制焊点间距,将固定好的试样浸入 300 g 液态纯 Sn 中进行钎焊,钎焊温度为 260 °C、时间为 10 s。然后,将试样立即取出并水冷至室温。将钎焊后的试样线切割加工制成横截面尺寸约为 600 μm×600 μm 的条状试样,最后再将这些条状试样的 4 个侧面分别进行预磨抛光处理制备成横截面尺寸为 300 μm×300 μm 的线性焊点。图 1 所示为 Cu/Sn/Ni 线性焊点的液一固界面反应装置示意图。液一固界面反应实验在油浴中进行,将线性焊点水平放置在矩形玻璃上,用密封胶将试样固定在载玻片上,然后用特制的金属夹具进行固定,最后将整个装置放入温度为 250 ℃的油浴中进行液一固界面反应,反应时间分别为 10 min、30 min、1 h、2 h、4 h 和 6 h。

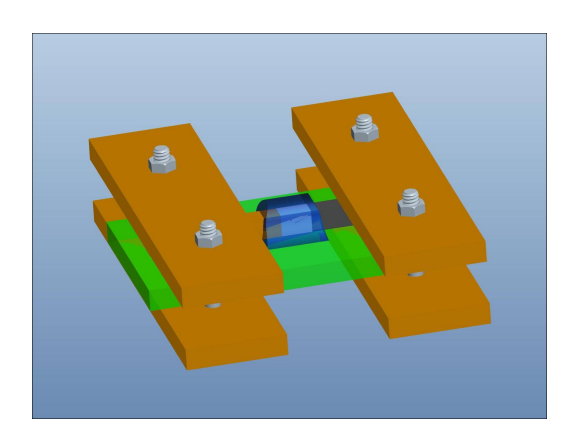


图 1 Cu/Sn/Ni 线性焊点液-固界面反应示意图

**Fig. 1** Schematic diagram of liquid-solid interfacial reaction of line-type Cu/Sn/Ni interconnect

液-固界面反应后的线性焊点首先进行预磨,然后再依次用直径分别为 1.5 和 0.5 μm 的金刚石抛光膏进行抛光。抛光后再用 92%酒精-5%硝酸-3%盐酸(体积分数)的腐蚀液进行腐蚀,腐蚀时间为 10 s。采用 JSM-5600LV 型扫描电子显微镜和 EPMA-1600 型电子探针分别对界面金属间化合物的形貌与成分进行观察与分析。采用 Q500IW 型图像分析软件测定 SEM 照片中界面 IMC 层的面积,然后除以测量区域的总长度,得到界面 IMC 层的平均厚度。为了结果更加准确,每个界面取 3 张照片,每张照片测量 3 次,最后取平均值。

## 2 结果与分析

图 2 所示为 Cu/Sn/Ni 焊点在 260 °C 下浸焊反应

10 s 后的微观组织。浸焊后 Cu 基板和 Ni 基板之间形成了良好的连接,Cu 和 Ni 的实际间距为(210±5)  $\mu$ m。在焊点两侧的 Sn/Ni 和 Sn/Cu 界面上均生成了扇贝状的 IMC。EPMA 分析得 Sn/Ni 界面 IMC 为 Ni $_3$ Sn $_4$ ,Sn/Cu 界面 IMC 为 Cu $_6$ Sn $_5$ ,由此可见,在短时浸焊反应后并没有发生 Cu-Ni 交互作用。测量得到 Ni $_3$ Sn $_4$  层和 Cu $_6$ Sn $_5$  层的厚度分别为 0.25  $\mu$ m 和 0.30  $\mu$ m。在钎料基体中观察到细小的共晶组织。WANG 和 LIU<sup>[13]</sup>研究了 Cu/Sn/Ni 焊点在 250 °C条件下的液—固界面反应,发现当反应时间小于 1 min 时,Sn/Ni 界面 IMC 的生长速率小于 Sn/Cu 界面 IMC 的生长速率,这与本实验的结果相吻合。

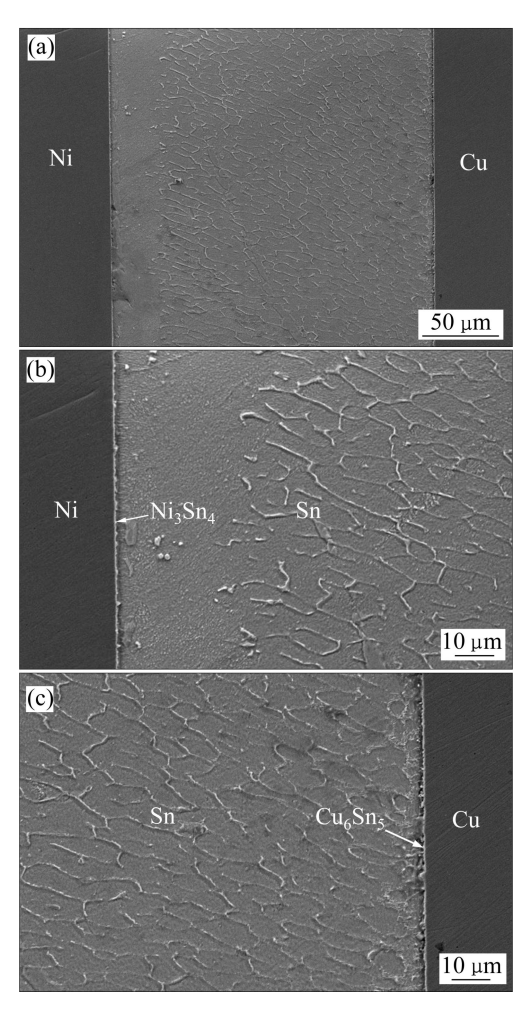


图 2 浸焊后 Cu/Sn/Ni 焊点的微观组织

**Fig. 2** Microstructures of Cu/Sn/Ni interconnect after immersing soldering: (a) Entire micrograph; (b) Sn/Ni interface; (c) Sn/Cu interface

图 3 所示为 Cu/Sn/Ni 焊点在 250 ℃液-固界面反应不同时间后界面微观组织演变。图 3(a)、(c)、(e)、(g)为 Sn/Ni 界面,图 3(b)、(d)、(f)、(h)为 Sn/Cu 界面。

由图 3(a)可知, 液-固界面反应 10 min 后, Sn/Ni 界面 IMC 已由初始的 Ni<sub>3</sub>Sn<sub>4</sub> 转变为 Cu<sub>6</sub>Sn<sub>5</sub> 类型, EPMA 分析显示其具体成分为(Cu<sub>0.83</sub>Ni<sub>0.17</sub>)<sub>6</sub>Sn<sub>5</sub>。在钎焊过程 中,从 Sn/Cu 界面处溶解到液态钎料中的大量 Cu 原 子会在化学势梯度的驱动下扩散到 Sn/Ni 界面并参与 界面反应,由于 Cu<sub>6</sub>Sn<sub>5</sub>具有更低的吉布斯自由能[14], 促使界面 IMC 由 Ni<sub>3</sub>Sn<sub>4</sub>转变为(Cu<sub>083</sub>Ni<sub>017</sub>)<sub>6</sub>Sn<sub>5</sub>。同样, Sn/Ni 界面处的 Ni 原子溶解到液态钎料中后, 也会在 化学势梯度的驱动下扩散到 Sn/Cu 界面并参与界面反 应,但界面 IMC 仍为 Cu<sub>6</sub>Sn<sub>5</sub>类型,如图 3(b)所示。 同时,由于 Ni 的溶解速率较低, Sn/Cu 界面 IMC 为 (Cu<sub>0.92</sub>Ni<sub>0.08</sub>)<sub>6</sub>Sn<sub>5</sub>, 仅含有少量的 Ni 原子。此外, Sn/Ni 和 Sn/Cu 界面 IMCs 形貌均由初始的扇贝状转变为短 棒状,厚度分别为 2.59 µm 和 4.88 µm。在钎料基体中 均匀分布着颗粒状的 IMC, EPMA 分析表明这些颗粒 状的 IMC 为(Cu,Ni)<sub>6</sub>Sn<sub>5</sub>。WANG 和 LIU<sup>[13]</sup>的研究同样 发现,经过1 min 后,在 Sn/Cu 和 Sn/Ni 界面上均生 成了(Cu,Ni)<sub>6</sub>Sn<sub>5</sub> IMC, 但界面 IMC 的形貌却有所不 同,这主要是由于焊点两侧界面的间距有所不同(本研 究中焊点的间距为 200 μm, 而文献[13]中焊点的间距 为 100 um), 从而导致焊点中元素的扩散行为及界面 处 Cu、Ni 元素的原子浓度有所不同。可见, 焊点间 距对 Cu-Ni 交互作用及界面反应有重要影响。

Cu 原子和 Ni 原子在液态 Sn 中的扩散速率均为  $10^{-5}$  cm²/s 数量级[15],其扩散距离可表示为

$$S = \sqrt{Dt} \tag{1}$$

式中: S 为扩散距离,D 为扩散速率,t 为扩散时间。根据式(1)计算可知,在本研究条件下,Cu 原子和 Ni 原子仅需要 40 s 就可以扩散到焊点对面一侧,可见液-固界面反应 10 min 后,Cu-Ni 必将发生交互作用,并导致 Sn/Ni 界面 IMC 类型发生转变(由  $Ni_3Sn_4$  转变成  $Cu_6Sn_5$  类型),两侧界面处的 IMC 形貌也发生转变。

如图 3(c)和(d)所示,液-固界面反应 30 min 后,钎料中的颗粒状 IMC 越来越多。Sn/Cu 和 Sn/Ni 界面 IMC 厚度进一步增加,分别达到 6.17 和 4.93 µm。 界面 IMC 仍然为(Cu,Ni)<sub>6</sub>Sn<sub>5</sub> 类型,EPMA 分析可知 Sn/Cu 和 Sn/Ni 界面 IMC 的成分分别为(Cu<sub>0.90</sub>Ni<sub>0.10</sub>)<sub>6</sub>Sn<sub>5</sub> 和(Cu<sub>0.83</sub>Ni<sub>0.17</sub>)<sub>6</sub>Sn<sub>5</sub>。Sn/Ni 界面处的(Cu,Ni)<sub>6</sub>Sn<sub>5</sub> 由短棒状逐渐转变为长棒状。在 Sn/Cu 界面处并未发现有 Cu<sub>3</sub>Sn 生成,这是由于 Ni 的存在抑制了 Cu<sub>3</sub>Sn 的生长。WATANABE 等[16]研究了 Ni 对 Sn-Ag-Cu/Cu 液-固界面反应的影响,发现当钎料中加入微量 Ni 元素时,能够明显抑制 Cu<sub>6</sub>Sn<sub>5</sub>/Cu 界面处

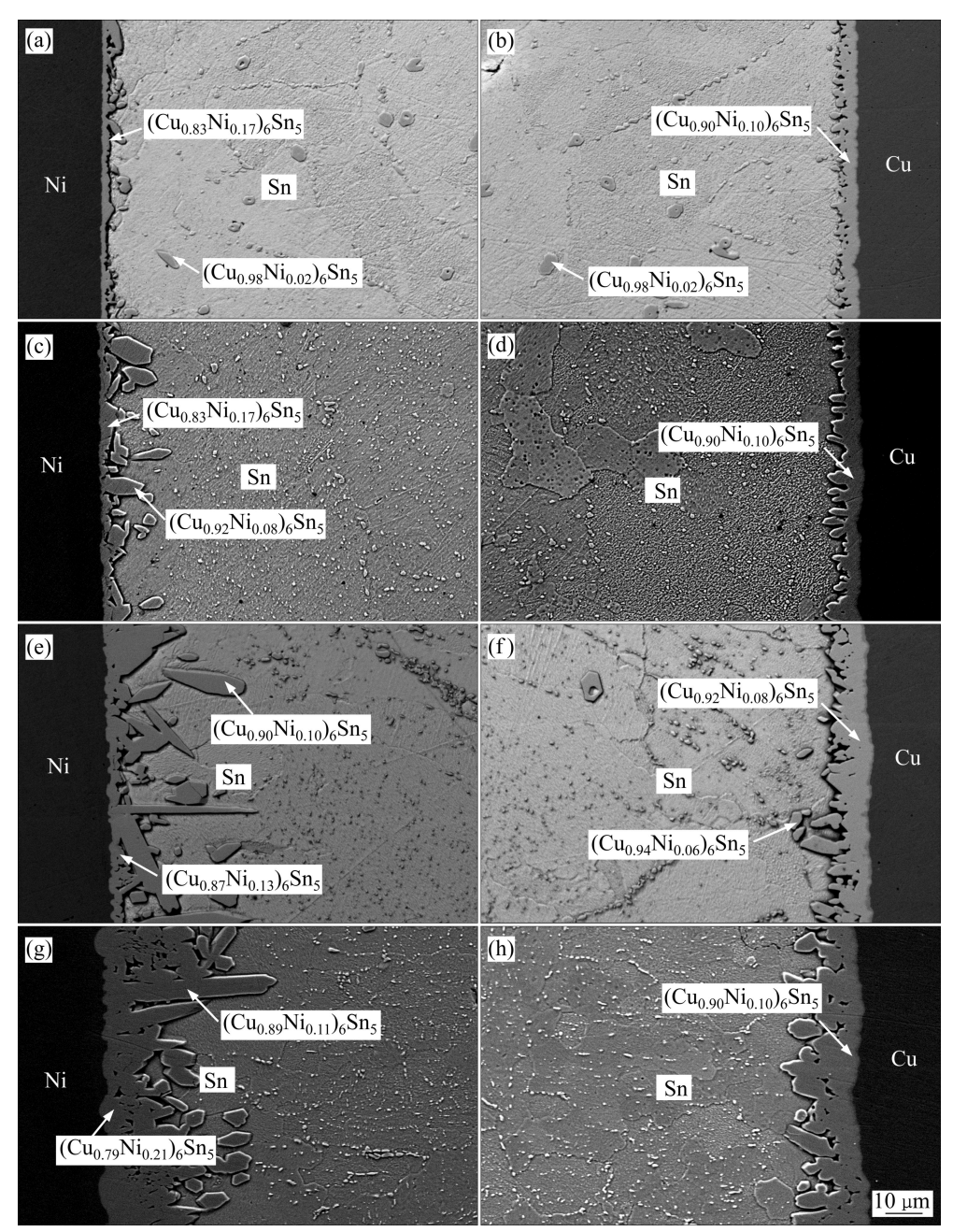


图 3 Cu/Sn/Ni 焊点在 250 ℃液-固界面反应过程中界面组织演变

Fig. 3 Microstructures evolutions of Cu/Sn/Ni interconnects during liquid-solid interfacial reaction at 250  $^{\circ}$ C: (a), (c), (e), (g) Sn/Ni interfaces; (b), (d), (f), (h) Sn/Cu interfaces

Cu<sub>3</sub>Sn 层的生长,这与本实验结果相吻合。

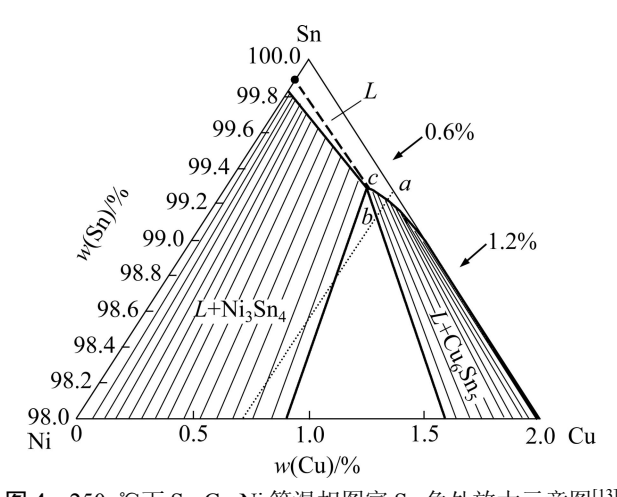
如图 3(e)和(f)所示,液-固界面反应 2 h 后,Sn/Ni 和 Sn/Cu 界面 IMC 继续增厚,分别达到了 11.31 和 10.33 μm。此时,Sn/Ni 界面上 IMC 的厚度要比 Sn/Cu 界面上 IMC 的厚。由此可见,Cu/Sn/Ni 焊点在液-固界面反应过程中,Sn/Cu 和 Sn/Ni 界面处的 IMC 虽然均为(Cu,Ni)<sub>6</sub>Sn<sub>5</sub>类型,并且均随液-固界面反应时间的增加而增厚,但是其具有不同的生长速率。在液-固界面反应初期,Sn/Cu 界面 IMC 的生长速率要大于Sn/Ni 界面 IMC 的生长速率,而经过一段时间后,Sn/Ni

界面 IMC 的生长速率要大于 Sn/Cu 界面处 IMC 的生长速率。EPMA 分析可知,Sn/Cu 和 Sn/Ni 界面 IMC 的成分分别为( $Cu_{0.92}Ni_{0.08}$ ) $_6Sn_5$  和( $Cu_{0.87}Ni_{0.13}$ ) $_6Sn_5$ 。液一固界面反应 2h 后,Sn/Ni 界面(Cu,Ni) $_6Sn_5$  由短棒状转变为长棒状。

如图 3(g)和(h)所示,液-固界面反应 6 h 后,Sn/Cu 和 Sn/Ni 界面 IMC 的厚度分别达到 15.78 和 23.44 µm。即使液-固界面反应进行了 6 h,Sn/Ni 界面 IMC 仍然为(Cu,Ni) $_6$ Sn $_5$ ,在(Cu,Ni) $_6$ Sn $_5$ /Ni 的界面处并没有生成(Ni,Cu) $_3$ Sn $_4$ ; Sn/Cu 界面 IMC 也为(Cu,Ni) $_6$ Sn $_5$ ,并未

发现  $Cu_3Sn$  层的生成。EPMA 分析显示,Sn/Ni 和 Sn/Cu 界面 IMC 的成分分别为( $Cu_{0.89}Ni_{0.11}$ )。 $Sn_5$ (图 3(g))和( $Cu_{0.90}Ni_{0.10}$ )。 $Sn_5$ (图 3(h))。与液—固界面反应 2h 后的焊点相比,Sn/Cu 界面 IMC 的厚度仅增加了 4.47  $\mu$ m,而 Sn/Ni 界面 IMC 的厚度则增加了 13.11  $\mu$ m。由此可见,随着液—固界面反应时间的延长,Sn/Cu 界面 IMC 的增长越来越缓慢,而 Sn/Ni 界面 IMC 的增长却越来越快。

图 4 所示为 250 ℃时 Sn-Cu-Ni 三元相图的等温 截面图[13]。由图 4 可知, Cu 在 Sn 中的饱和溶解度约 为 1.2%(质量分数), 当 Sn 中含有 0.2%的 Ni 时, Cu 在 Sn 中的饱和溶解度就会下降到 0.6%。Ni 在 Sn 中 的饱和溶解度约为 0.2%, 但当 Sn 中溶解有少量的 Cu 时(低于 0.6%), Ni 在 Sn 中的溶解度变化并不大, 只 有当 Cu 含量高于 0.6%时, Ni 在 Sn 中的饱和溶解度 才会下降。对 Cu/Sn/Ni 焊点而言, Sn/Cu 界面附近钎 料中的Cu浓度要大于Sn/Ni界面附近钎料中的Cu浓 度,因此,Cu原子在钎料中存在一个浓度梯度,在该 浓度梯度的作用下, Cu 原子会不断地从 Cu 端扩散到 Ni 端; 而 Sn/Ni 界面附近钎料中的 Ni 原子浓度虽然 比 Sn/Cu 界面附近钎料中的 Ni 原子浓度大, 但是与 Cu 原子在钎料中的浓度梯度相比要小很多, 所以, Ni 原子在钎料中的扩散通量要明显小于 Cu 原子在钎 料中的扩散通量。



**图 4** 250 °C下 Sn-Cu-Ni 等温相图富 Sn 角处放大示意图<sup>[13]</sup> **Fig. 4** Enlarged Sn corner of isothermal section of Sn-Cu-Ni ternary phase diagram at 250 °C<sup>[13]</sup>

液-固界面反应过程中界面 IMC 的厚度与反应时间的关系可用以下经验公式表示:

$$h_t - h_0 = Kt^n \tag{2}$$

式中:  $h_t$  为经液-固界面反应时间 t 后界面 IMC 层的厚度,  $h_0$  为界面 IMC 层的初始厚度(t=0), K 为 IMC

层生长速率系数,n 为 IMC 层生长速率指数。 式(2)中的 K 可用 Arrhenius 方程来表示:

$$K = K_0 \exp\left(\frac{-Q}{RT}\right) \tag{3}$$

式中:  $K_0$  为生成常数, Q 为生长激活能, T 为绝对温度, R 为摩尔气体常数。

将式(3)代入式(2)并对两边取对数得

$$\lg(h_t - h_0) = \lg K_0 - \frac{Q}{RT} + n \lg t \tag{4}$$

在界面反应过程中  $\lg K_0 - \frac{Q}{RT}$  为常数,由此可见,

以  $\lg(h_t - h_0)$  和  $\lg t$  为坐标作图,可得一条直线,直线的斜率即为  $\operatorname{IMC}$  层的生长指数 n。图 5 所示为  $\operatorname{Cu/Sn/Ni}$  焊点液—固界面反应过程中界面  $\operatorname{IMC}$  的  $\lg(h_t - h_0)$  —  $\lg t$  关系图。在 250 °C液—固界面反应过程中,Sn/Cu 及 Sn/Ni 界面  $\operatorname{IMC}$  的生长指数分别为 0.32 和 0.62。随着液—固界面反应时间的延长,界面(Cu,Ni)<sub>6</sub>Sn<sub>5</sub>  $\operatorname{IMC}$  的厚度不断增加。在液—固界面反应初期,Cu-Ni 交互作用没有发生,但由于 Sn 和 Cu 的反应速率大于 Sn 和 Ni 的反应速率,因此,Sn/Cu 界面  $\operatorname{IMC}$  的厚度大于 Sn/Ni 界面  $\operatorname{IMC}$  的厚度;随着液—固界面反应的进行,由于 Cu 与 Ni 之间的交互作用,Sn/Ni 界面  $\operatorname{IMC}$  的生长速率大于  $\operatorname{Sn/Ni}$  界面  $\operatorname{IMC}$  的生长速率;因此,液—固界面反应 2 h 后,Sn/Ni 界面  $\operatorname{IMC}$  的厚度大Sn/Cu 界面  $\operatorname{IMC}$  的厚度大

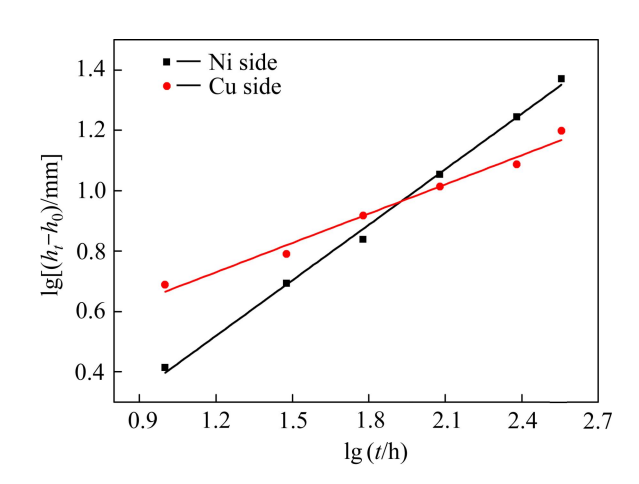


图 5 Cu/Sn/Ni 焊点液-固界面反应过程中界面 IMC 的  $\lg(h_t - h_0)$  一  $\lg t$  关系曲线

**Fig. 5**  $\lg(h_t - h_0) - \lg t$  plots of growth kinetics of IMC layers in Cu/Sn/Ni interconnect during liquid-solid reaction

焊点中界面 IMC 的厚度及形貌会显著影响焊点的力学性能,通过液-固反应过程中交互作用对界面 IMC 的成分变化规律、金属间化合物类型以及生长动力学的影响可知,焊点中的 Cu-Ni 交互作用通过影响

界面反应,进而会对焊点的力学性能产生重要影响。 在交互作用下,一方面,Sn/Ni 界面 IMC 的类型发生 转变且具有更大的生长速率,界面 IMC 过快生长将使 焊点的可靠性下降;另一方面,由于被溶解的 Cu 原 子参与 Sn/Ni 界面反应,将使液态钎料中的 Cu 浓度降 低,这会促使 Cu 基板的加速溶解,从而降低焊点的 可靠性。因此,焊点中的交互作用将对焊点的可靠性 产生不利影响,在焊点设计及封装工艺过程中应予以 避免。

### 3 结论

- 1) 250 ℃短时浸焊后(10 s), Cu/Sn/Ni 焊点中没有 发生 Cu-Ni 交互作用,Cu<sub>6</sub>Sn<sub>5</sub> 和 Ni<sub>3</sub>Sn<sub>4</sub> IMCs 分别在 Sn/Cu 及 Sn/Ni 界面处生成。
- 2) 在 250 ℃下液-固界面反应 10 min 后,Cu-Ni 交互作用明显。Cu 原子和 Ni 原子均溶解并扩散到对面基体的界面上参与界面反应,Sn/Ni 及 Sn/Cu 界面的 IMCs 均转变为(Cu,Ni)<sub>6</sub>Sn<sub>5</sub>。
- 3) Sn/Cu 与 Sn/Ni 界面 IMCs 的厚度均随着液-固界面反应时间的延长而增加,其生长指数分别为 0.32 和 0.61。在液-固界面反应的初始阶段,Sn/Cu 界面 IMC 的厚度要大于 Sn/Ni 界面 IMC 的厚度;液-固界面反应 2 h 后,由于 Cu 与 Ni 之间的交互作用,Sn/Cu 界面 IMC 的厚度要小于 Sn/Ni 界面 IMC 的厚度,并随着界面反应时间的延长一直保持;液-固界面反应 6 h 后,Sn/Cu 与 Sn/Ni 界面 IMCs 厚度分别达到 15.78 和 23.44 μm。
- 4) 交互作用的存在会加速 Sn/Ni 界面 IMC 的生长和 Cu 基板的溶解,降低焊点的可靠性,应通过焊点设计及封装工艺优化予以避免。

#### REFERENCES

- [1] ZENG K J, STIERMAN R, CHIU T C, EDWARDS D, ANO K, TU K N. Kirkendall void formation in eutectic SnPb solder joints on bare Cu and its effect on joint reliability[J]. Journal of Applied Physics, 2005, 97(2): 024508.
- [2] CHANG C C, LIN Y W, WANG Y W, KAO C R. The effect of solder volume and Cu concentration on the consumption rate of Cu pad during reflow soldering[J]. Journal of Alloys and Compounds, 2010, 492(1/2): 99–104.
- [3] ZHANG F, LI M, CHUM C C, TUNG C H. Effects of substrate metallizations on solder/underbump metallization interfacial reactions in flip-chip packages during thermal aging[J]. Journal of Materials Research, 2003, 18(6): 1333–1341.
- [4] HONG K K, RYU J B, PARK C Y, HUH J Y. Effect of

- cross-interaction between Ni and Cu on growth kinetics of intermetallic compounds in Ni/Sn/Cu diffusion couples during aging[J]. Journal Electronic Materials, 2008, 37(1): 61–72.
- [5] CHANG C W, YANG S C, TU C T, KAO C R. Cross-interaction between Ni and Cu across Sn layers with different thickness[J]. Journal Electronic Materials, 2007, 36(11): 1455–1461.
- [6] WANG S J, LIU C Y. Study of interaction between Cu-Sn and Ni-Sn interfacial reactions by Ni-Sn3.5Ag-Cu sandwich structure[J]. Journal Electronic Materials, 2003, 32(11): 1303–1309.
- [7] HO C E, TSAI R Y, LIN Y L, KAO C R. Effect of Cu concentration on the reactions between Sn-Ag-Cu solders and Ni[J]. Journal of Electronic Materials, 2002, 31(6): 584–590.
- [8] TSAI J Y, HU Y C, TSAI C M, KAO C R. A study on the reaction between Cu and Sn3.5Ag solder doped with small amounts of Ni[J]. Journal of Electronic Materials, 2003, 32(11): 1203–1208.
- [9] YOON J W, NOH B I, JUNG S B. Effects of third element and surface finish on interfacial reactions of Sn-Ag-xCu (or Ni)/(Cu or ENIG) solder joints[J]. Journal of Alloys and compounds, 2010, 506(1): 331–337.
- [10] 陈雷达, 周少明, 黄明亮. 电迁移对 Ni/Sn/Ni-P 焊点界面反应 的影响[J]. 稀有金属材料与工程, 2012, 41(10): 1785–1789. CHEN Lei-da, ZHOU Shao-ming, HUANG Ming-liang. Effect of electromigration on interfacial reaction in Ni/Sn/Ni-P solder joint[J]. Rare Metal Materials and Engineering, 2012, 41(10): 1785–1789.
- [11] 黄明亮,陈雷达,周少明. 电迁移对 Ni/Sn3.0Ag0.5Cu/Cu 焊点 界面反应的影响[J]. 金属学报, 2012, 48(3): 321-328. HUANG Ming-liang, CHEN Lei-da, ZHOU Shao-ming. Effect of electromigration on interfacial reaction in Ni/Sn3.0Ag0.5Cu/Cu flip chip solder joint[J]. Acta Metallurgica Sinica, 2012, 48(3): 321-328.
- [12] 黄明亮,陈雷达,周少明,赵宁. 电迁移对Ni/Sn3.0Ag0.5Cu/Au/Pd/Ni-P 倒装无铅焊点界面反应的影响[J]. 物理学报, 2012, 61(19): 198104.

  HUANG Ming-liang, CHEN Lei-da, ZHOU Shao-ming, ZHAO Ning. Effect of electromigration on interfacial reaction in Ni/Sn3.0Ag0.5Cu/Au/Pd/Ni-P flip chip solder joints[J]. Acta Physica Sinica, 2012, 61(19): 198104.
- [13] WANG S J, LIU C Y. Kinetic analysis of the interfacial reactions in Ni/Sn/Cu sandwich structures[J]. Journal Electronic Materials, 2006, 35(11): 1955–1960.
- [14] LAURILA T, VUORINEN V, KIVILAHTI J K. Interfacial reactions between lead-free solders and common base materials[J]. Mater Sci Eng R, 2005, 49: 1–60.
- [15] ROY A K, CHABRA R P. Prediction of solute diffusion coefficients in liquid metals[J]. Metallurgical Transactions A, 1988, 19(2): 273–279.
- [16] WATANABE H, SHIMODA M, HIDAKA N, SHOHJI I. Effect of interfacial reaction in Sn-Ag-Cu solder alloy with Ni addition[J]. Key Engineering Materials, 2011, 462/463: 247–252.

(编辑 龙怀中)